

25X1

Page Denied

Next 1 Page(s) In Document Denied

The Use of Ge and Si Single Crystals for Precision Measurement
in X-ray Spectroscopy.

Jiří Drahokoupil, Antonín Fingerland
Institute of Technical Physics, Prague

In our laboratory in the Institute of Technical Physics of Czechoslovak Academy of Sciences we study the effects of chemical bond on the K group lines of transition elements. Recently we have made a selection of crystals for fluorescent method measurements on double crystal spectrometer.

Malloof (1955) called attention to the use of germanium crystals for X-ray spectroscopy. Further Baškovský and Dubáková (1957) have shown by precision measurements on (111) planes of germanium, that the germanium crystals used were nearly perfect. Analogous results could be expected with silicon crystals.

We were looking for crystals giving high luminosity of the arrangement and sufficient resolving power simultaneously. The purpose of present communication is to show, that these requirements are quite well fulfilled by germanium and silicon single crystals, cut parallel to the (220) plane. As the resolving power of the double crystal spectrometer with these crystals is comparable to or higher than with calcite /germanium and silicon resp./, it follows that they are suitable for measurement of line shapes.

In our measurements primary Cu K α and Fe K α radiation and double crystal spectrometer with GM-counters, were used. The power supply was stabilized to better than one half percent. The maximal vertical divergence of the X-ray beam was $\phi_m = 0.007$ /radians/. In the antiparallel position /1,1/ the horizontal divergence was about 0,05 radians.

Table

	1 ^{x)}	2	3	4	5	6	7	8	9	10
	$\frac{4}{3} w_c$	$w_{(1,-1)}$	$w_{(1,1)}$	$w_{(1,1)} - w_{(1,-1)}$	$w_{(1,1)} - \frac{1}{2}w_{(1,-1)}$	w_{par}	$P_{(0)}$ obs.	$P_{(0)}$ calc.	$\frac{\lambda}{\lambda} \times 10^{-3}$ exp.	$\frac{\lambda}{\lambda} \times 10^{-3}$ teor.
Ge(220)	0,13	0,13	$\sim_1: 0,57$	0,44	0,50	$\sim_1: 0,46$	100,0	100,0	12	12
			$\sim_2: 0,78$	0,65	0,71	$\sim_2: 0,635$	29,5	32,0	22	27
Si (220)	0,056	0,07	$\sim_1: 0,51$	0,44	0,47					
			$\sim_2: 0,73$	0,66	0,69					
Kalcit	0,14	--	--	--			41,0	41,3	11	11
Ge(220)	0,16	0,17	$\sim_1: 0,92$	0,75	0,83	$\sim_1: 0,79$	--	100,0	11	12
			$\sim_2: 1,07$	0,90	0,98					
Si(220)	0,07	0,11	$\sim_1: 0,86$	0,75	0,80	$\sim_2: 0,90$	--	32,3	17	27
			$\sim_2: 1,02$	0,91	0,96					

x) $l = \epsilon$ in XU

STRUKTURA VAKUOVĚ NAPŘENÝCH TEŇKÝCH VRSTEV ŽELEZA

Při studiu magnetických vlastností tenkých ferromagnetických vrstev je nutné znát jejich strukturu. Pokusili jsme se proto určit strukturu tenkých vrstev železa, které s hlediska magnetických vlastností právě studujeme. Vrstvy železa jsme připravili vypařením ve vysokém vakuu ($p < 10^{-4}$ mm Hg) na skleněnou podložku při současném zahřívání podložky asi na 300 °C. K napájení vrstev jsme použili pásku čistého železa, které jsme před vypařením vedením elektrického proudu na teplotu asi 1470 °C. Pásy železa jsme před vlastním napájením vrstev vypařovali po dobu dvou hodin, aby se uvolnily nečistoty z jejich povrchu. Po této době jsme teprve počali s vlastním nanášením vrstev. Hotové



Obr. 1. Elektronový difrakční snímek tenké vrstvy železa.

vrstvy jsme ponechali delší dobu uvnitř vakuové aparatury, až se jejich teplota vyrovnila s teplotou okolí.

Z takto získaných vrstev jsme pořídili elektronovým difraktografem Výzkumného ocelářského ústavu ohýbové snímky u dvou vzorků, jejichž tloušťky určené interferenční metodou [1] byly: (I) $\delta = 3450 \text{ \AA}$, (II) $\delta = 2340 \text{ \AA}$. Elektronovou difracíci jsme provedli při téměř tangenciálním dopadu elektronového svažku na rovinu vzorku a při dvou vlnových délkách ($\lambda_1 = 0,0554 \text{ \AA}$, $\lambda_2 = 0,0517 \text{ \AA}$). Snímky ukazují na kubickou mřížku prostorově centrovanou a jejich charakter je u obou vzorků úplně souhlasný (obr. 1); mřížková konstanta vypočtená z poloměru difrakčních kruhů je $a = 2,88 \text{ \AA}$, což v rámci přesnosti experimentálních údajů je v soulasce s hodnotou mřížkové konstanty kompaktního železa $a = 2,866 \text{ \AA}$. Z difrakčních snímků je patrná velmi výrazná textura. Jak z dalších úvah vyplýne, jde u obou vzorků o vláknitou texturu s texturní osou [111] kolmou k rovině vrstvy. To znamená, že krystaly ve vrstvě jsou orientovány tak, že jejich krystalografické roviny (111) jsou rovnoběžné s rovinou vrstvy a v ní nahodile orientovány. Potvrzuje to okolnost, že otáčením vzorku kolem texturní osy se interferenční obraz nemění (difrakční snímek pořízený v jedné poloze a v poloze o 90° otocené). V obr. 2 jsou znázorněny difrakční kružnice jednotlivých interferencí s příslušnými místy zhuštění. Ježto jde o rovinový snímek, leží místa zhuštění na hyperbolických vrstevnicích. Indexy reflexí hkl na n -té vrstevnici a indexy texturní osy $[uvw]$ splňují podmíinku

$$hu + kv + lw = n,$$

která pro texturní osu [111] má tvar

$$h + k + l = n$$

pro $n = 0, 2, 4, 6, \dots$ vzhledem k tomu, že perioda identity $t_{[111]}$ ve směru tělesného úhlopříčky je u prostorově centrované mřížky rovna její polovině; pro železo je $t_{[111]} = 2,482 \text{ \AA}$.

Kdy je u prostorově centrované mřížky rovna její polovině; pro železo je $t_{[111]} = 2,482 \text{ \AA}$.
Pro $t_{[uvw]}$ platí

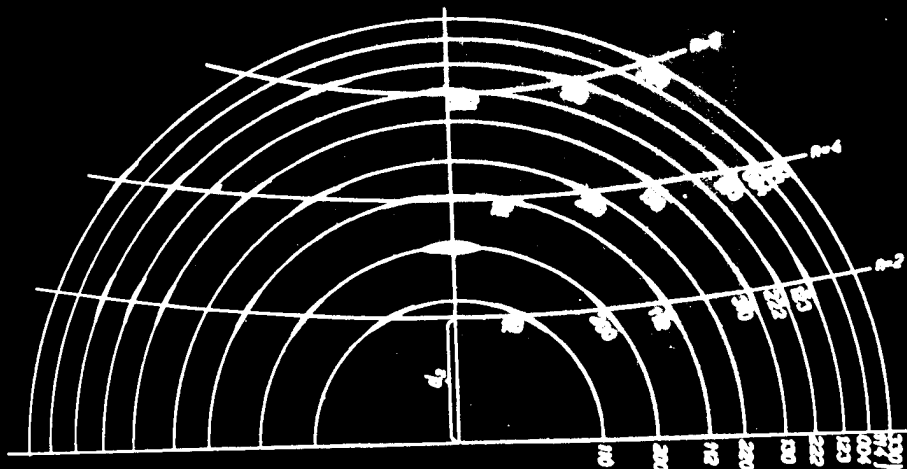
$$t_{[uvw]} = \frac{n\lambda r}{d_n};$$

Dowling et al.

λ je vlnové délka, r vzdálenost propagace od fotomultiplicátora, d_1 a d_2 jsou poloměry vrtule v různých místech. Uvedený vztah pro t_{max} platí pro vlnové délky mezi 10 až 150 nm. Vzorek je vložen do vrtule s průměrem $d_1 = 10 \text{ mm}$. Elektrody jsou umístěny vzdálenost $r = 10 \text{ mm}$. Vzdálenost mezi elektrodami je $d_2 = 1 \text{ mm}$. Při $\lambda = 100 \text{ nm}$ je $t_{\text{max}} = 0,0004 \text{ A} \cdot \text{sr}^{-1} \cdot \text{nm}^{-1}$.
 t_{max} po řadě hodnoty:

2,45; 2,46; 2,47 Å.

S výsledkem, že krystaly ledové v tomto vlastním vývoji zůstávají ve vlastním směrem orientovaný rovinou (111) rovnoběžnou s rovinou vlny, jenž se v Mertonu dlejí.



Obr. 2. Difuzkou kružnice s místy zhuštění na hyperbolických vrstvnicích (schematicky).

setkali. GLOCKER a KAUFF [2] při studiu vrstev elektrolyticky nanášených na měd nebo železo zjistili, že u železa vzniká vláknitá textura s texturní osou [111] rovnoběžnou se směry proudových čar, děje-li se využívání z vodního roztoku chloridu železnatého; s přiměsi chloridu vápenatého v uvedeném elektrolytu nastala změna texturní osy na [112]. ELENBAAS [3], který studoval magnetické vlastnosti tenkých vrstev železa a niklu nanášených elektrolyticky na mědi, zjistil u vrstev železa stejně jako v našem případě vláknitou texturu s texturní osou [111]. Zjistil dále, že tato textura se u vrstev slabších než 3.6μ nevyskytuje a u silnějších je tím výraznější, čím větší je proudová hustota při elektrolyze. Konečně z článku BEMECKA [4] vyplývá, že u tenkých vrstev železa připravených vypařením v plynné atmosféře ($p \sim 1 \text{ mm Hg}$) nastává stejná orientace krystálů, jakou jsme pozorovali při vypařování ve vysokém vakuum.

Deile 27 1 1955

JAROMÍR BROŽ, VLADIMÍR SYNEČEK
Ústav technické fyziky ČSAV, Praha

VLADIMÍR HAVEL
Výzkumný ocelářský ústav, Praha

Literatura

- [1] VILÍM F.: Fyzikální věstník 2 (1954), sed. 2, 13.
 [2] GLOCKER R., KAUPP E.: Ze. f. Phys. 24 (1924), 121.
 [3] ELENBAAS W.: Ze. f. Phys. 76 (1932), 829.
 [4] BEECK O.: Rev. Mod. Phys. 17 (1945), 61.

^{*)} Na snímku nezadá do soustavy vrstevnic místo zhuštění ležící na geometrických místech vrcholů vrstevnic na difrakční kružnici 200. Toto místo zhuštění vzniká pravděpodobně odrazem primárního svazku elektronů od podložky s nataženou vrstvou.